

## I-26 非定常浸透流における薄水層定数のとり扱い

徳島大学工学部 正員 尾島 勝  
日本工営 正員 荒木一郎

1. まえがき： 浸透流の非定常性を問題とするとき、浸透流の挙動に影響を及ぼす要因の詳細な分析・評価、さらにその挙動をより正確により簡単に表わしうる数理モデルの確立が基礎的な課題である。われわれは、低平地自由地下水を対象とした浸透流の非定常性の評価を、砂層モデル実験を中心として水位変動量と流動量の解析により行なっている。これらの実験でみられた浸透流の非定常現象を、準一次元流の立場にたって理論的に解析しようとするとき、数理モデルの基礎式に含まれる各項のもつ値の場所的・時間的变化特性以上に、薄水層定数の相違ある、いはその変化が非定常性の評価に大きく関与するものと思われる。有効間げき率の場所的变化や連続排水を考慮した解析はきわめて少なく、定常時の値を求めるために行なわれる揚水試験法にBoulton<sup>3)</sup>やStallmanの連帶產生率を考慮したもののが見出される程度である。したがって本報告では、浸透流の非定常時における薄水層定数について、実験結果あるいは理論解析を用いてその変化特性を考察する。この方法を示すとともに、貯留量あるいは排水量の時間変化と砂層内のみかけの浸透体積の増減との関係から、有効間げき率の時間変化について述べる。

2. 数理モデル： 図-1(a), (b)に示すような薄水層モデルにおいて、準一次元流の假定にとづく数理モデルを考える。すなはち、 $B(x,t) (= k(x,t)/\lambda(t))$  を薄水層定数、 $k$ ；透水係数、 $\lambda$ ；有効間げき率、 $i$ ； $\lambda (= \Delta H/k)$  をそれぞれ不透水層ごとに配、初期水面こう配をすれば、図-1に対する基礎式は次式のようになる。

$$\frac{\partial h(x,t)}{\partial t} = B(x,t) \left\{ [H_0 \pm i + Pl - x(d-i)] \frac{\partial^2 h}{\partial x^2} \pm (i-2x) \frac{\partial^2 h}{\partial x^2} + (\frac{\partial h}{\partial x})^2 + \alpha(d-i) \right\}$$

$$\pm \frac{\partial \beta}{\partial x} [H_0 \pm i + Pl - x(d-i)] \left( \frac{\partial h}{\partial x} - \alpha \right) \quad (1)$$

ただし、式中(i)符号は(a)図の浸透過程(TYPE-I-II-V)を示し、このとき $P=l(d-i)$ 、また(-)符号は(b)図の排水過程(TYPE-III-VI)を示し、 $P=-li$ である。

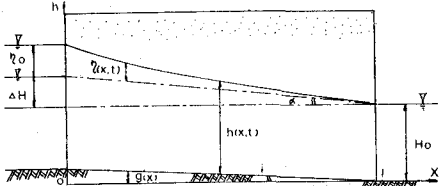


図-1(a) 薄水層モデル(浸透過程)

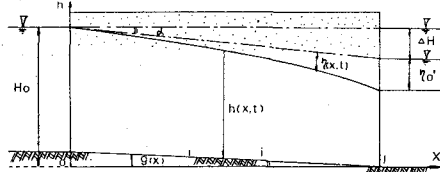


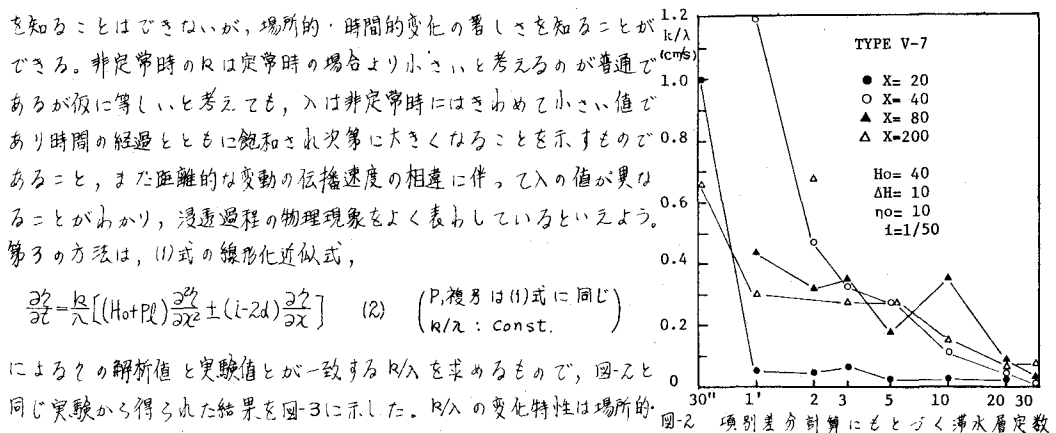
図-1(b) 薄水層モデル(排水過程)

3. 薄水層定数の算定： まず第1に、概数を知る方法としては、単位時間流量と定常流量との比について理論値と実験値をfittingさせることにより算出するもので定常時に近い値を推定しうる。第2には、実験値を用いた基礎式の項別計算から直接算出することを、また第3には、理論解による水位変動量が実験によるものと一致するように理論式中の薄水層定数( $k/\lambda$ )を逆算して推定することを試みるもので、それが場所的・時間的に変動する値をえることができる。

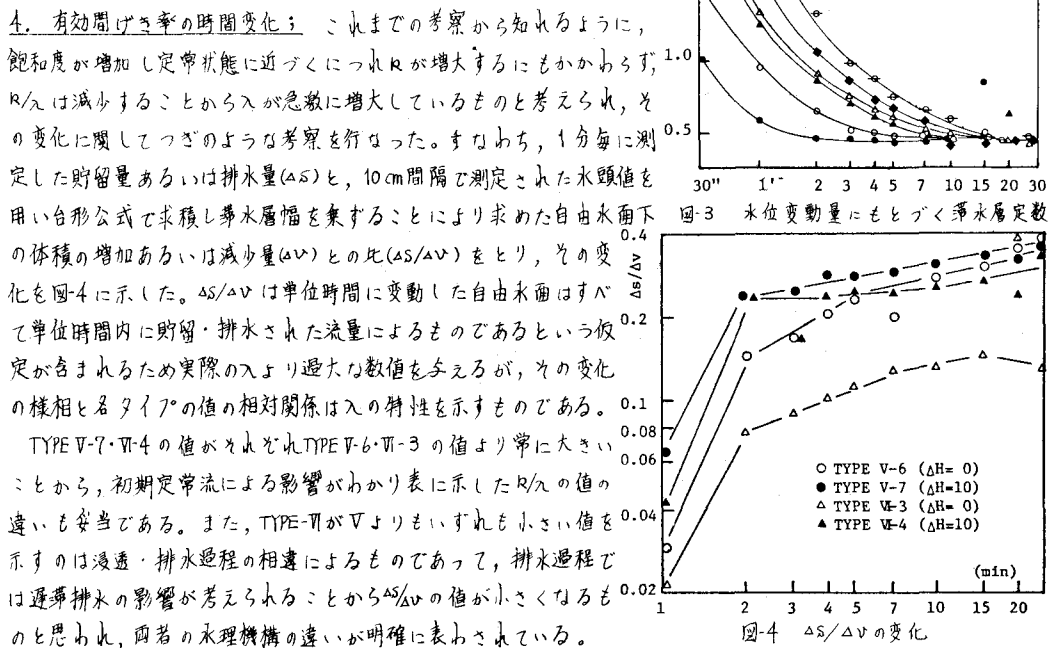
流動量のfitting法で得た各タイプの平均的な値を右の表に示した。TYPE-V-VIはそれとTYPE-I-IVと同様に浸透過程、排水過程の実験であるが、試料砂が異なるものである。TYPE-VIを例にとってその値の妥当性を調べてみればつきのようである。すなはち、定常時の平均透水係数を定常流量・水位から求めると $0.12(\text{cm/s})$ を得、また砂の有効間げき率を約0.3と考えれば、 $k/\lambda$ の値は約 $0.4(\text{cm/s})$ となり表に示した値とオーダー的には一致する。つきの方法は、(1)式の右辺第2項(99/32の項)をとりあえず無視した方程式において、 $B(x,t)$ の値を任意の場所・時間で求めたもので、TYPE-Vの場合を例にとり図-2に示した。この方法によれば定常時の値

表  $k/\lambda$  の値

TYPE	$k/\lambda(\text{cm/s})$
I ( $\Delta H=0$ )	1.91
III ( $\Delta H=0$ )	0.84
V ( $\Delta H=0$ )	0.81
( $\Delta H=10$ )	0.53
VI ( $\Delta H=0$ )	0.74
( $\Delta H=10$ )	0.50



によるこの解析値と実験値とが一致する  $k/\lambda$  を求めるもので、図-2 と同じ実験から得られた結果を図-3 に示した。 $k/\lambda$  の変化特性は場所的に時間的に図-2 とよく相似しているが、定常時の値が明確になっていることと注目される。すなわち、非定常浸透流を表わすとするいすみ式においても  $k/\lambda$  の場所的・時間的变化を無視できないことがわかる。また、定常時の値が表に示した柔動量の fitting 法により求めた一定値 ( $0.53 \text{ cm/s}$ ) にほぼ収束していることも注目される。



5. あとがき； 浸透流を表わす数理モデルにおいて、貯水層定数が浸透流の非定常性を表現する重要な parameter であることが認識された。すなわち、貯水層定数の非定常時における変化は著しく、基礎式において一定値としてとり扱えず、さらに有効間げき率の変化は透水係数のそれに比べて大きく、貯水層定数の変化特性は有効間げき率の変化に依存することがわかった。しかし、貯水層定数の変化を準一次元モデルで求めることは困難であり、今後、鉛直および水平一次元の基礎的な実験をふまえながら提体浸透の問題に適用していきたい。

1) 尾島・荒木：低平地自由地下水の非定常性の評価、第29回年次学術講演集(II-94), 1974.10., pp.203-205. 2) 同、第19回水理講演会論文集、1975.2., pp.109-114. 3) N.S. Boulton; Analysis of Data from Non-Equilibrium Pumping Test allowing for Delayed Yield from Storage, Inst Civil Engrs. Proc. [British], Vol. 26, 1963, pp.469-482.